

溶鋼の露開気からの酸素吸収速度の研究

Absorption Velocity of Oxygen from Atmosphere into Molten Steel

Synopsis :

The rates of oxygen absorption in molten pure iron, and steel containing Al, Ti or Si were investigated in the atmosphere of Ar-O₂ by the modified Sieverts' method.

Under the oxygen partial pressure of 0.2 atm, the absorption rates were measured.

$P_{\text{H}_2\text{O}}$, $P_{\text{H}_2\text{O}t}$: ガス中およびガス・溶鉄界面

2. 従来の研究の展望

における H_2O 分圧 (atm)

D_0 : 溶鉄中の O の拡散係数 (cm^2/sec)

溶鉄中の O₂ の合計ガスと [各種ガスとレフロムガス中のO₂の濃度] Δ : 溶性距離の距離 (cm)

が始まるとともに表面に酸化膜を生成する。この

[O₂] / [O]: ガス・溶鉄界面および溶鉄中の O

酸化膜の生成は、鋼浴中への O の拡散に比べてガスからの O₂ の供給の方が大のために表面に O が

濃度 (%)

製鋼温度においては界面反応速度はきわめて大

CO_2 分圧 (atm) Z : ガス側境膜の厚さ (cm)

このように脱炭反応については研究が行なわれているが、溶鋼の大気酸化を解析するための脱酸剤の酸化速度の定量的研究はほとんどなく、また酸化生成物が形成される過程についても未だ明確でない。

に、吸收炉の詳細をFig. 2に、外観を Photo. 1に示した。

装置は Ar および O₂ ガスの精製装置、ガス貯槽、圧力計、ビュレット、系全体を排気する真空ポンプおよび炉の内容積を大にした透明石英製の

3.2 実験方法

実験は次の順序に従って行なう。まず 130g の研磨した溶解試料を装入したルツボを吸収瓶に設

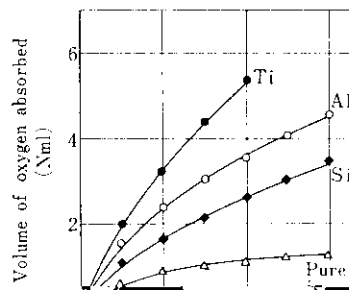
溶鋼の O₂ 吸収に伴い瓶内ガス圧は低下するので 1 ~ 2 minごとにコック H, ついで J を開き水準びんを上げ、ビュレット中の O₂ を系内に 760 Torr になるまで補給する。導入した O₂ 濃度をビュ

1%合金のときは合金元素により差がある。

Table 3 Average absorption rate of oxygen

時間に対して、ほぼ直線的に吸収量は増加している。

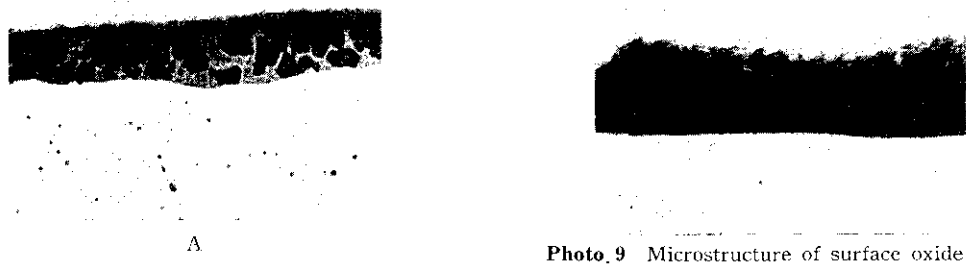
0.2%合金ではTiの場合は1%合金とあまり大きな差はないが、Alの場合の吸収速度は小さくなっている。



Alloy (%)	P_{O_2} (atm)	Absorption rate (mol/cm ² /sec)		
		$J^*_{10} \times 10^7$	$J^*_{20} \times 10^7$	$J^*_{30} \times 10^7$
1.0 Ti	0.2	8.10	8.15	8.72
1.0 Al	0.2	7.81	7.70	8.10
1.0 Si	0.2	7.05	7.64	7.60
pure Fe	0.2	4.75	3.91	3.40
0.2 Ti	0.2	7.81	7.18	6.92
0.2 Al	0.2	5.86	5.44	5.03
1.0 Ti	0.05	1.40	1.17	1.06
1.0 Al	0.05	1.10	0.87	0.73
1.0 Si	0.05	0.73	0.59	0.52
pure Fe	0.05	0.42	0.31	0.23
0.2 Ti	0.05	1.51	1.26	1.11
0.2 Al	0.05	1.18	0.93	0.82
0.2 Si	0.05	0.64	0.53	0.47

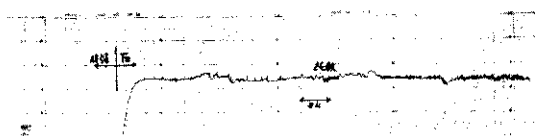
$J^*_{10}, J^*_{20}, J^*_{30}$: average absorption rate
0~10 (20, 30) min





A

Photo. 9 Microstructure of surface oxide film



Ni : 高周波出力 = 8.75 kW

S : 鋼浴の側面積 = 28.6 cm²

ρ : 1600°Cにおける溶鋼の密度 = 7.0 g/cm³

成分の mol flux を N_A とすれば、

$$\begin{aligned} N_{A,z}^+ W \Delta x - N_{A,z+\Delta z}^- W \Delta x + N_{A,x}^+ W \Delta z \\ - N_{A,x+\Delta x}^- W \Delta z = 0 \\ \therefore \partial N_{A,z} / \partial z + \partial N_{A,x} / \partial x = 0 \quad \dots\dots\dots(6) \end{aligned}$$

$$= \pi r^2 (C_{AO} - C_{Ai} t) \sqrt{4 D_{AB} v / \pi r} \dots\dots\dots(12)$$

時刻 0~t の間の吸収量 (moles) は

$$\begin{aligned} \int_0^t W(t) dt &= \pi r^2 (C_{AO} - C_{Ai}) \sqrt{4 D_{AB} v / \pi r} \\ &\cdot 1 / \sqrt{4 D_{AB} v / \pi l^2 r} \end{aligned}$$

この原因は、計算では溶鉄表面が酸化鉄と平衡しているとしたが実際には Photo. 13 のように表面は酸化鉄でおおわれていなかつたためと考えら

calculated from diffusion boundary layer theory
and experimental observation (wt%O)

Absorption $\frac{DF/\partial Vt}{(cal)} \quad \ln(C_s - C_i)/(C_s - C)(obs)$

表面は実際には $Fe-Fe_3O$ との平衡 O 分圧にな

5	1.71	0.171	0.0138	0.152
10	3.43	0.343	0.0238	0.282

Table 7 Lennard-Jones parameters of argon and oxygen

混合ガスを考えれば、

$$\rho_{Ar} = 1.683 \times 10^{-3} (\text{at } 16^\circ\text{C}), \rho_{O_2} = 1.429 \times 10^{-3}$$

Ar	39.944	3.418	124
O	32.0	3.433	113

$$\sigma_{Ar-O_2} = 3426(\text{\AA}) \text{ (相加平均)}$$

得る。

ガスの粘度は Sutherland¹⁴⁾ の式によって計算した。

$$\mu = \mu_0 \sqrt{T/T_0 (1 + C/T_0) / (1 + C/T)} \cdots (22)$$

散であると結論することができるであろう。

吸收速度におよぼす合金元素含有量の影響が小さいことも上記の結論に合致するものである。

ただ個々の合金元素別には若干の差があり、TiとAlではAlの方がTiよりOとの親和力は大であるにもかかわらず、Ti脱酸鋼の方がAl脱酸鋼よりも吸収速度が大であったのは予想外であったが、律速過程がO₂の供給であることを示すが、また

を含む場合は毎分 0.081%Q (15.1 Nm¹/100g steel /min) と Al の場合より大きかった。

(2) Al脱酸鋼はOを吸収するとただちに2~20μのAl₂O₃粒子からなる皮膜を生じ、さらに時間がたつと黒色のFeO·Al₂O₃と金属鉄の混在した皮膜が次第に発達して表面をおおうようになる。

Ti 脱酸の場合は TiO_2 および Ti_3O_5 を主成分と